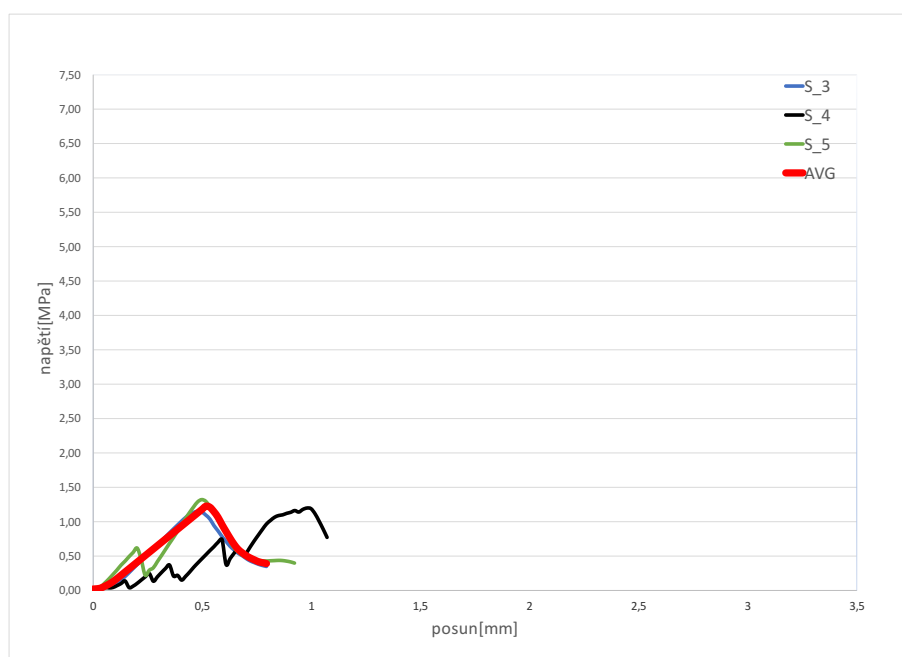


Příloha A

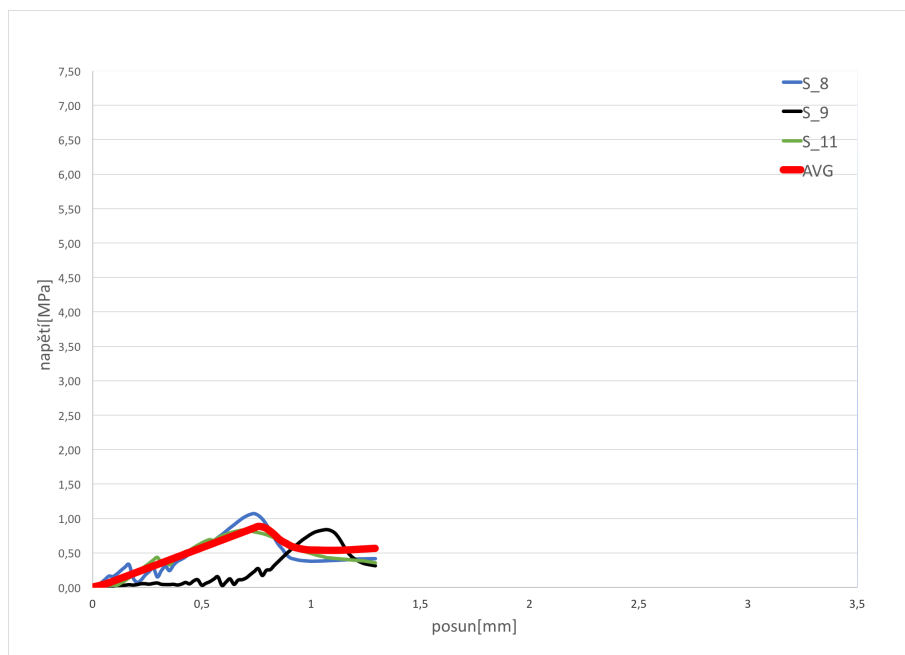
Přílohy

A.1 Tahová pevnost

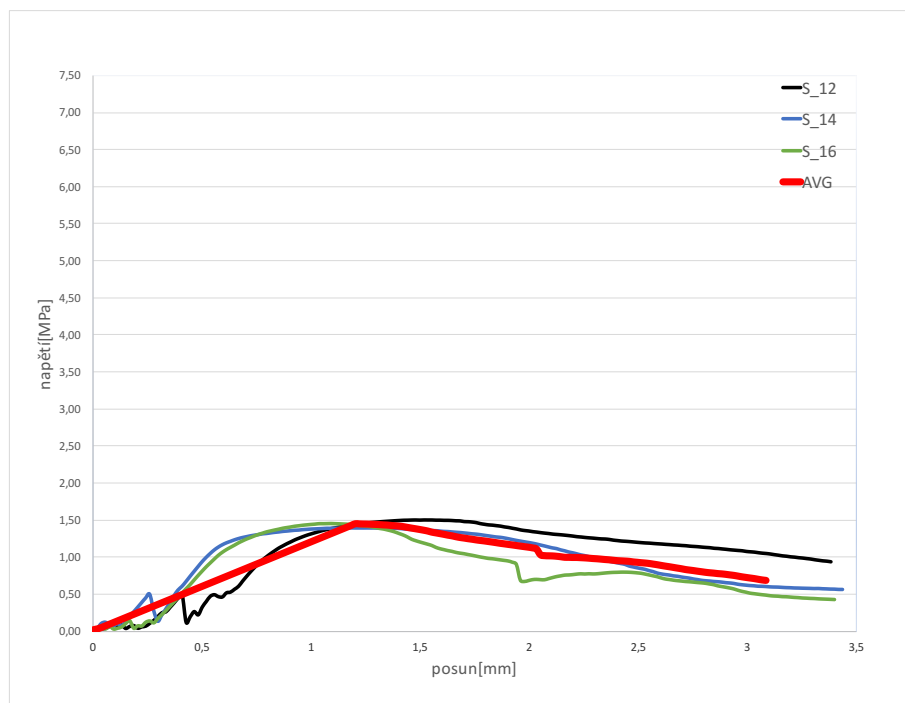


Obrázek A.1: Tahová pevnost lepidla Mamut glue crystal, černá ocel

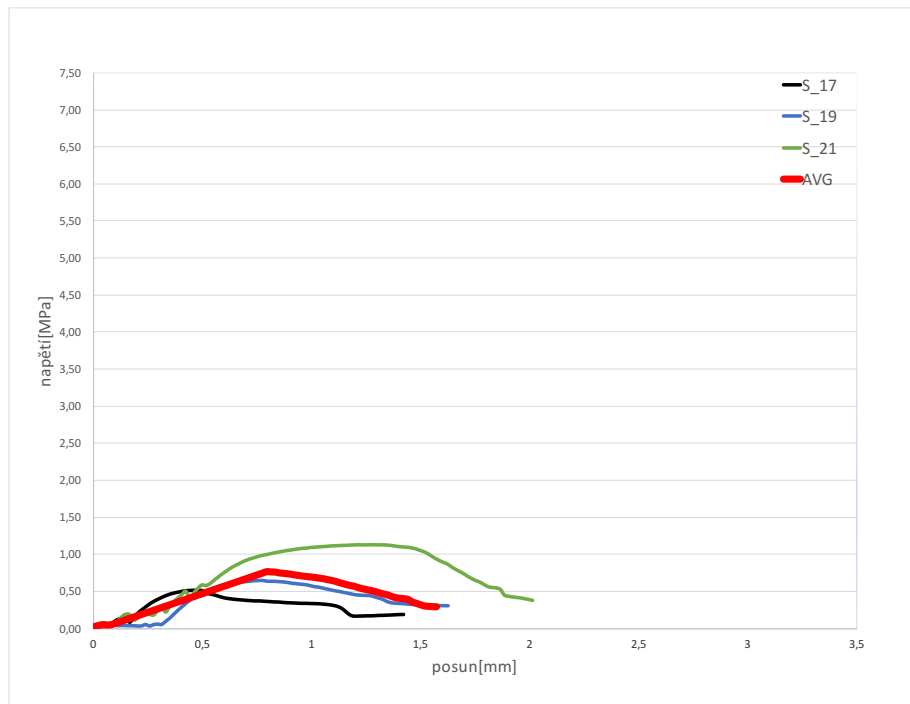
A.2 Smyková pevnost



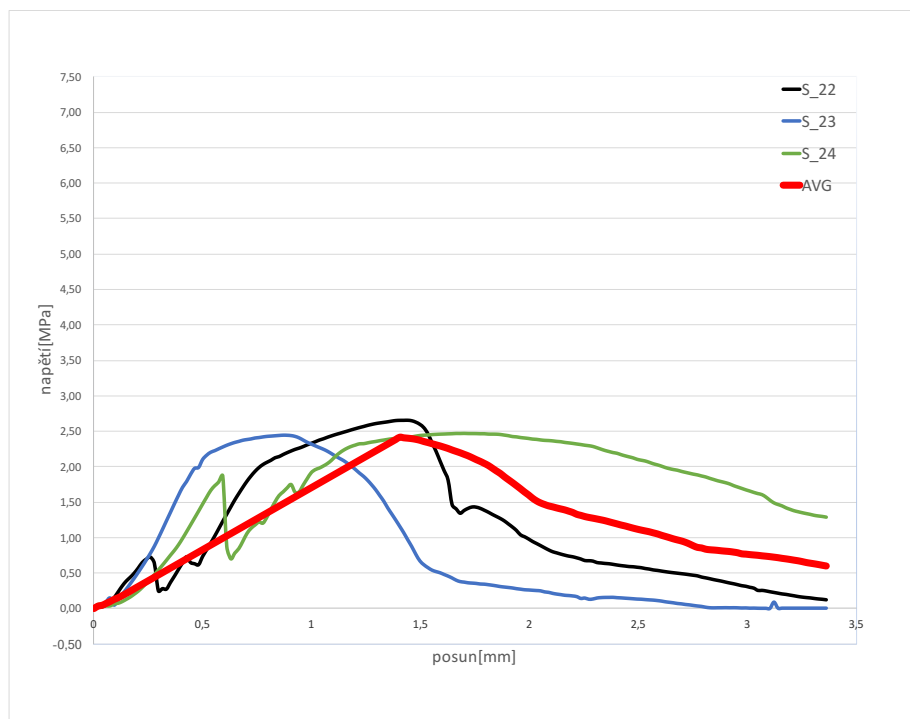
Obrázek A.2: Tahová pevnost lepidla Mamut glue crystal, pozinkováno



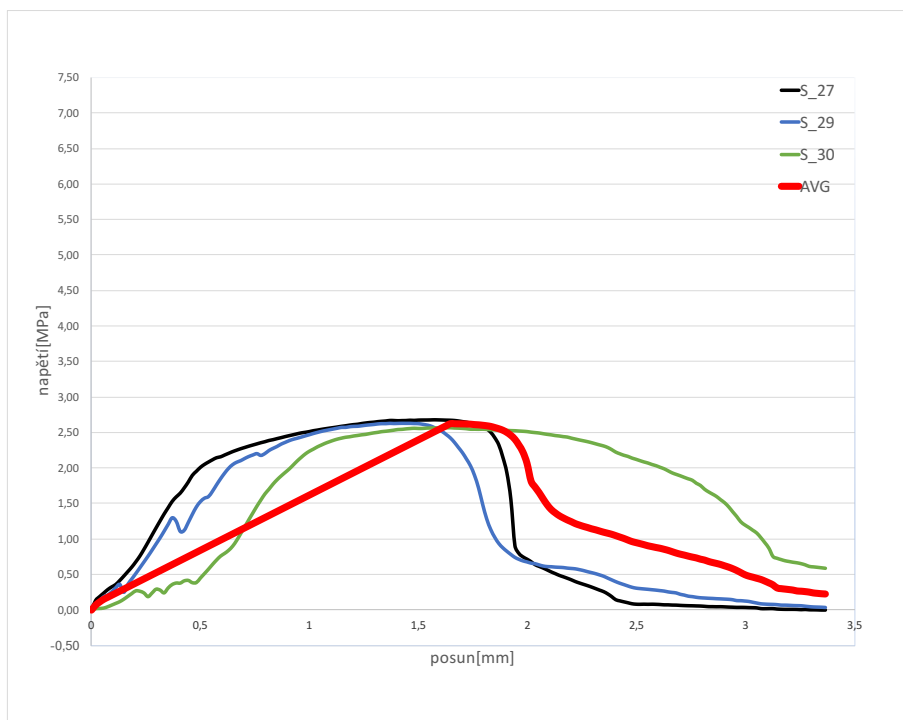
Obrázek A.3: Tahová pevnost lepidla 3M 550 FC, černá ocel



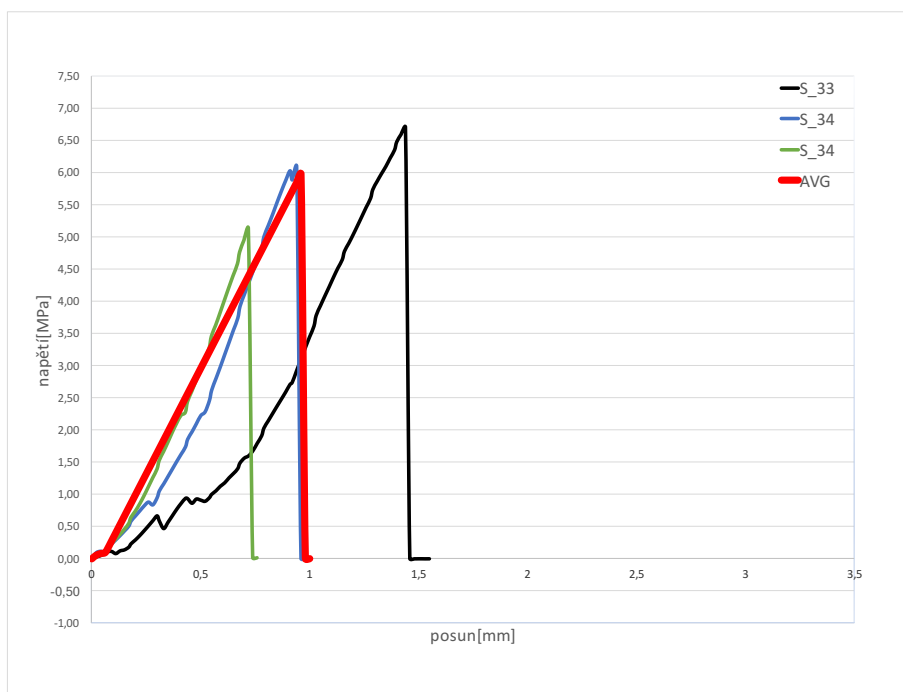
Obrázek A.4: Tahová pevnost lepidla 3M 550 FC, pozinkováno



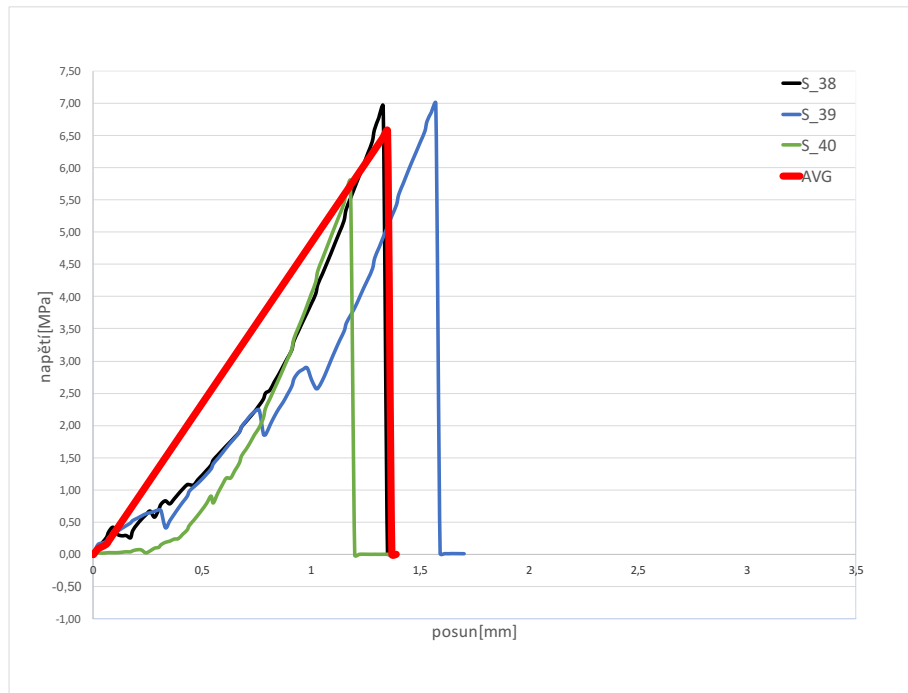
Obrázek A.5: Tahová pevnost lepidla Merbenit SF 50, černá ocel



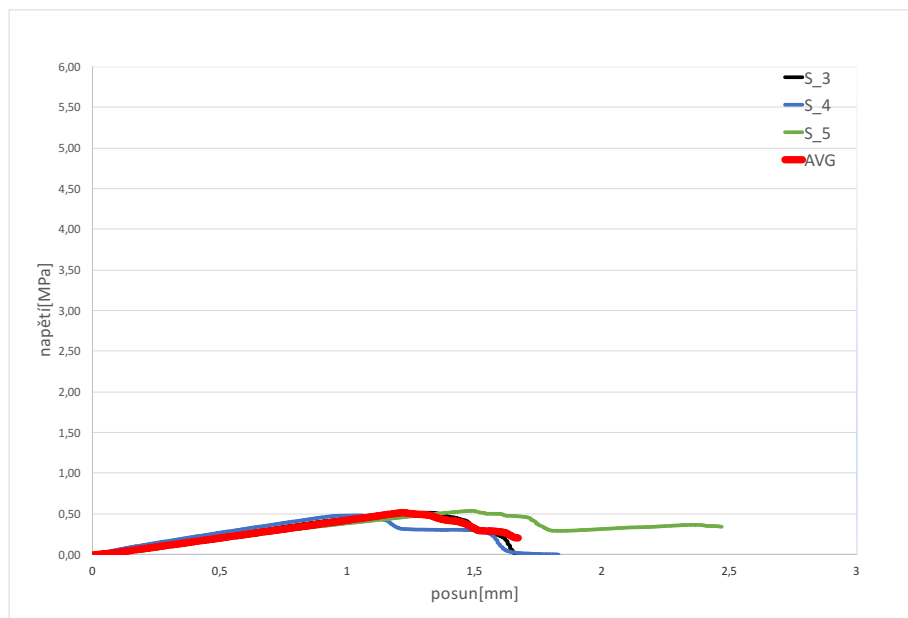
Obrázek A.6: Tahová pevnost lepidla Merbenit SF 50, pozinkováno



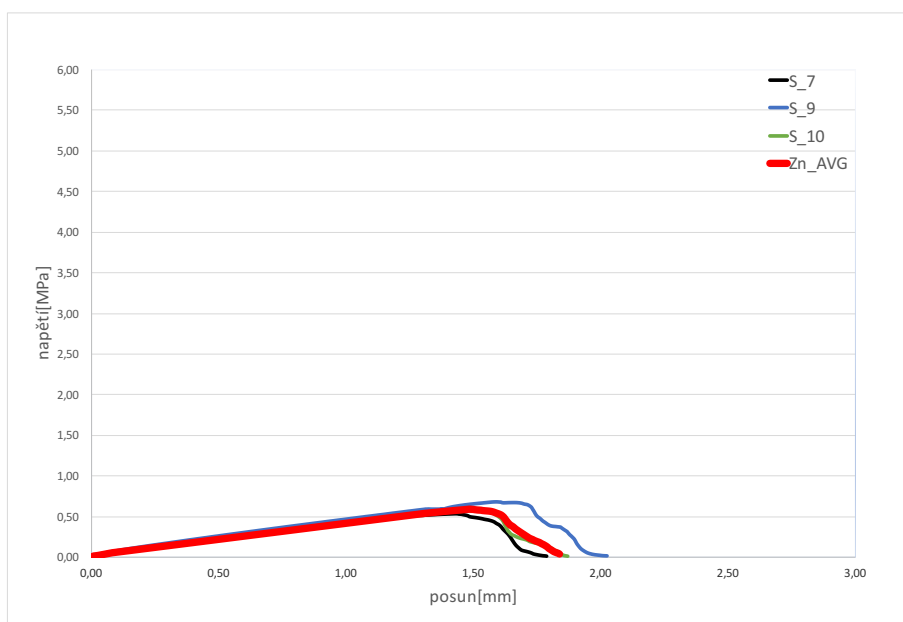
Obrázek A.7: Tahová pevnost Sikafloor 156, černá ocel



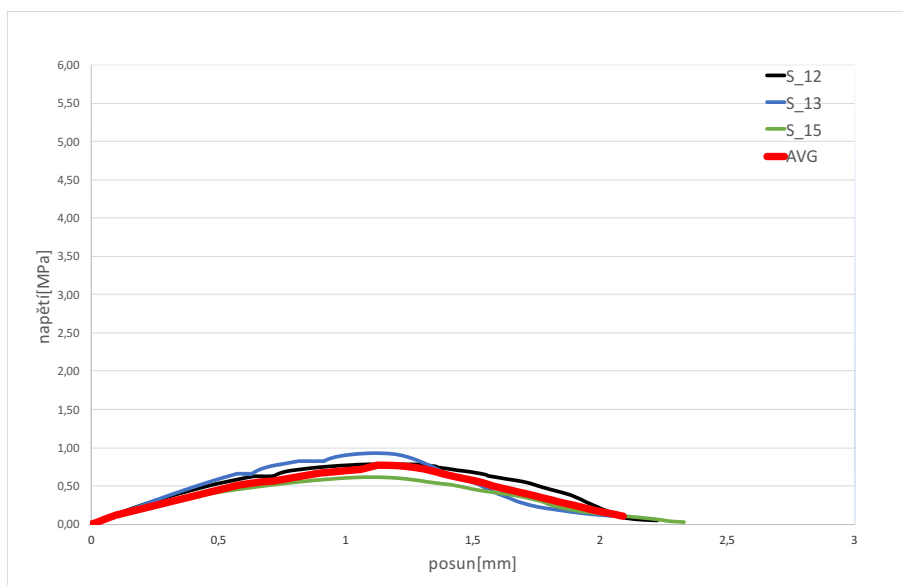
Obrázek A.8: Tahová pevnost Sikafloor 156, pozinkováno



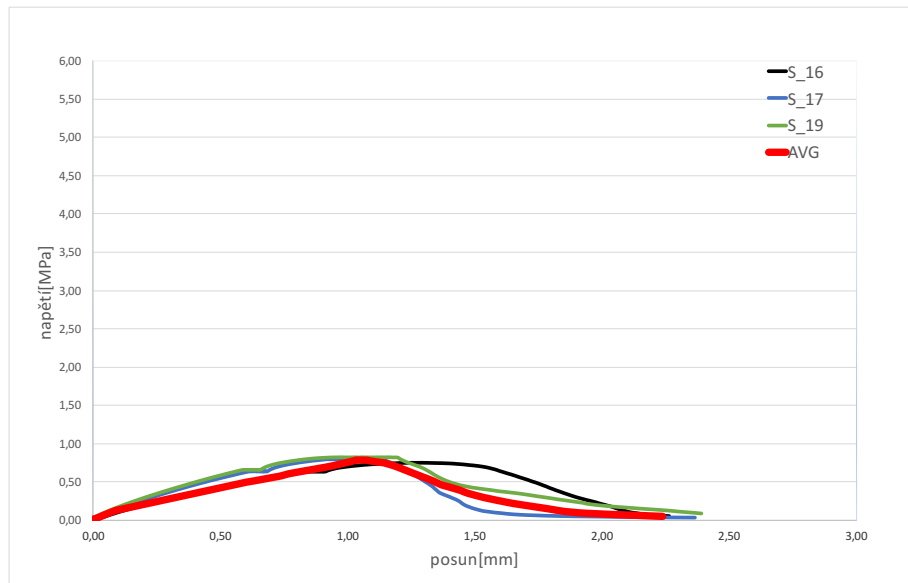
Obrázek A.9: Smyková pevnost lepidla Mamut glue crystal, černá ocel



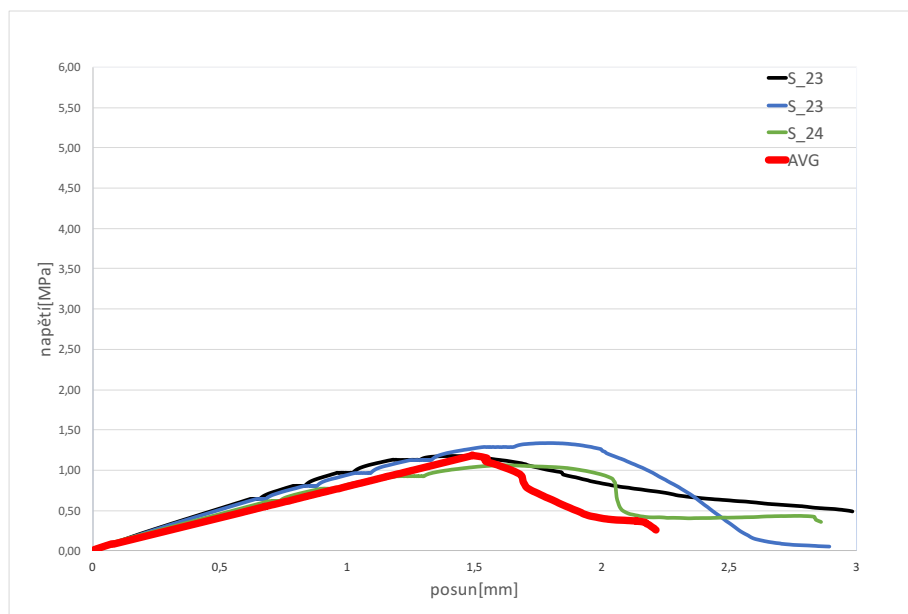
Obrázek A.10: Smyková pevnost lepidla Mamut glue crystal, pozinkováno



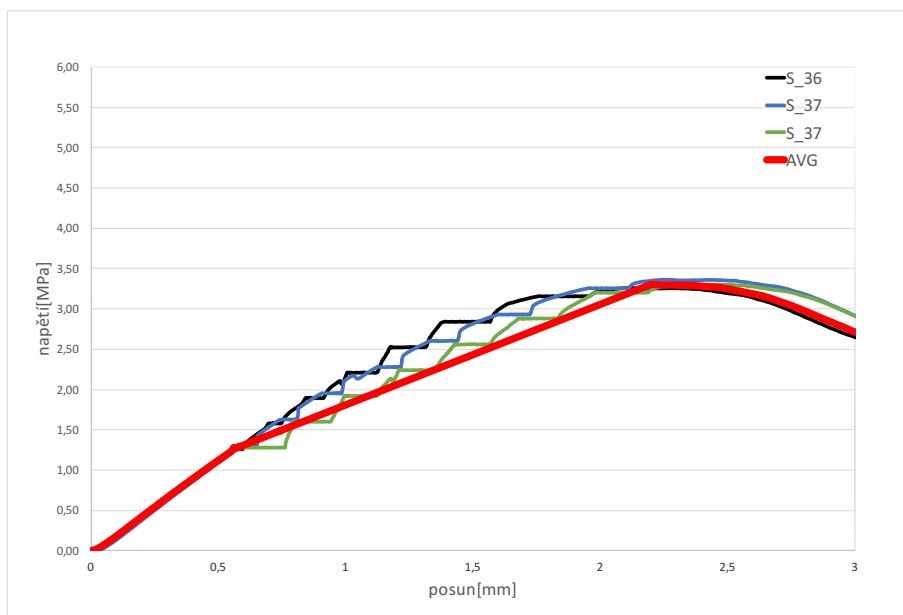
Obrázek A.11: Smyková pevnost lepidla 3M 550 FC, černá ocel



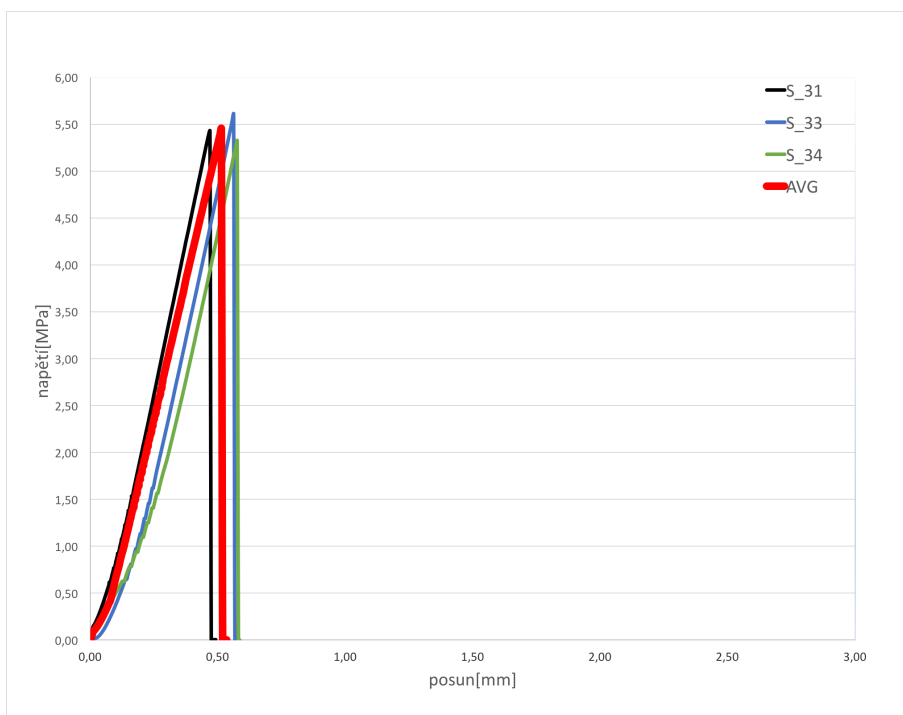
Obrázek A.12: Smyková pevnost lepidla 3M 550 FC, pozinkováno



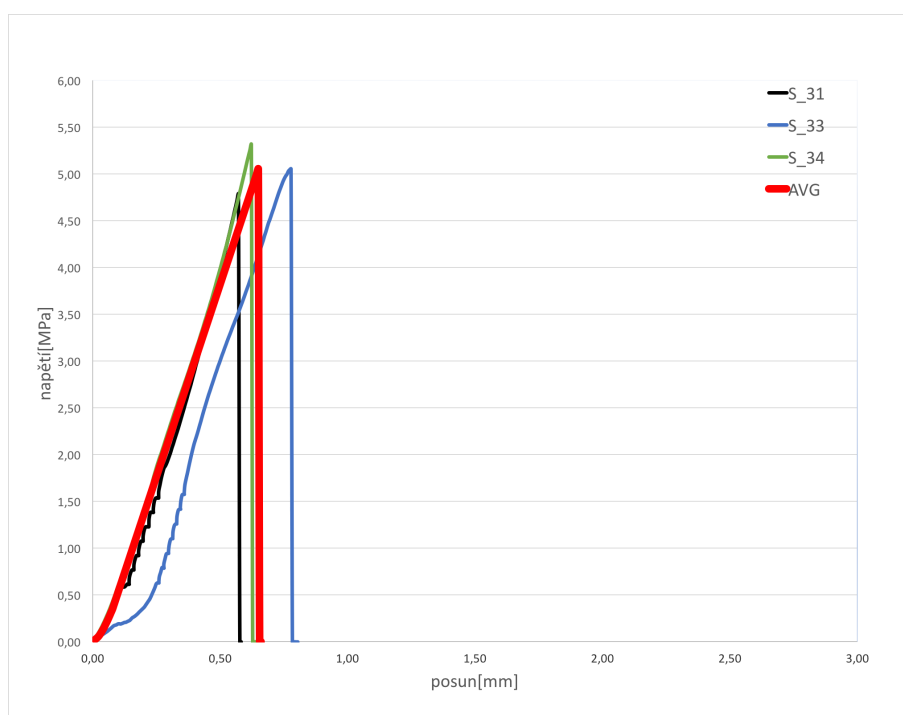
Obrázek A.13: Smyková pevnost lepidla Merbenit SF 50, černá ocel



Obrázek A.14: Smyková pevnost lepidla Merbenit SF 50, pozinkováno



Obrázek A.15: Smyková pevnost Sikafloor 156, černá ocel



Obrázek A.16: Smyková pevnost Sikafloor 156, pozinkováno



Příloha B

Literatura

- [1] ETAG 034.
- [2] ČSN EN 15 870.
- [3] příloha B ČSN EN 1994-1-1.
- [4] Lenka Laiblová, Tomáš Vlach, and Michal Ženíšek. Využití technických textilií jako alternativní výztuže do subtilních fasádních panel z vysokohodnotného betonu.
- [5] Filip Vogel. Production and use of the textile reinforced concrete. In *Advanced Materials Research*, volume 982, pages 59–62. Trans Tech Publ, 2014.
- [6] Magdaléna Novotná, Michaela Kostecká, Julie Hodková, and Miroslav Vokáč. Use of textile reinforced concrete—especially for facade panels. In *Advanced Materials Research*, volume 923, pages 142–145. Trans Tech Publ, 2014.
- [7] Milan Rydval and Jiří Kolísko. Ohybová únosnost desek ztraceného bednění vyrobených z uhpfrc a vliv distribuce ocelových vláken influence of steel fibre distribution on load-bearing capacity of uhpfrc lost shuttering slabs.
- [8] Ali Shams, Josef Hegger, and Michael Horstmann. An analytical model for sandwich panels made of textile-reinforced concrete. *Construction and Building Materials*, 64:451 – 459, 2014.
- [9] E. Sharei, A. Scholzen, J. Hegger, and R. Chudoba. Structural behavior of a lightweight, textile-reinforced concrete barrel vault shell. *Composite Structures*, 171:505 – 514, 2017.
- [10] Miroslav Bajer and Jan Barnat. The glue–concrete interface of bonded anchors. *Construction and Building Materials*, 34:267 – 274, 2012.

